

## رخساره‌ها و محیطرسوبی بخش پایینی سازند آخوره (ائوسن میانی)، برش سوراب، شمال نایین

محمد ملاح<sup>۱</sup>، محمدعلی صالحی<sup>۲\*</sup>، مهدی جعفرزاده<sup>۳</sup> و زهرا مزروعی‌سبدانی<sup>۴</sup>

<sup>۱</sup>- کارشناس ارشد زمین‌شناسی، دانشکده علوم پایه، دانشگاه اصفهان، اصفهان، ایران

<sup>۲</sup>- استادیار گروه زمین‌شناسی، دانشکده علوم پایه، دانشگاه اصفهان، اصفهان، ایران

<sup>۳</sup>- استادیار گروه زمین‌شناسی، دانشکده علوم زمین، دانشگاه صنعتی شاهرود، شاهرود، ایران

نویسنده مسئول: ma.salehi@sci.ui.ac.ir

دریافت: ۱۴۰۰/۸/۲ پذیرش: ۱۴۰۰/۱۰/۴

نوع مقاله: پژوهشی

### چکیده

توالی مورد مطالعه شامل بخش پایینی سازند آخوره (ائوسن میانی) در شمال نایین واقع در زون ایران مرکزی می‌باشد. این سازند به صورت نهشته‌های آواری و با خامت زیاد در طی فاز کوهزایی لارامید و فرسایش بلندی‌های حاصل از چین خورده‌گی و همزمان با فعالیت‌های آتش‌نشانی بعد از ائوسن تشکیل شده است. این توالی شامل ۵۰۵ متر ماسه‌سنگ، کنگلومرا و سیلیستون بوده که به ۱۰ واحد جینه‌شناسی تقسیک شده است. در توالی مورد مطالعه رخساره‌های آواری شناسایی شده شامل سه دسته اصلی درشت، متوسط و ریزدانه و همچنین رخساره‌ی خاک دیرینه P می‌باشد. رخساره درشت دانه شامل Gm، Gc، Gp، Gh و Gmg می‌باشد. رخساره دانه متوسط شامل Sh و Sm بوده و رخساره‌ی دانه ریز شامل Fm و Fsm می‌باشد. رخساره‌های شناسایی شده در توالی مورد مطالعه به چهار مجموعه رخساره آواری گروه‌بندی شده‌اند. همچنین عناصر ساختاری SB، SG و OF شناسایی گردیده است. این عناصر ساختاری مربوط به یک محیط قاره‌ای از نوع رودخانه بریده است. وجود محیط قاره‌ای در بخش پایینی سازند مذکور با مطالعات جغرافیای دیرینه هم خوانی دارد. مطالعه این توالی رسوبی علاوه بر این که برای اولین بار محیط رسوبی آن مورد بررسی قرار می‌گیرد، نتایج بدست آمده نیز اطلاعات مهمی را در رابطه با تکامل ژئودینامیکی ایران مرکزی در طول ائوسن میانی ارایه می‌نماید.

**واژگان کلیدی:** رخساره‌های آواری، محیطرسوبی، ائوسن میانی، سازند آخوره، نایین، ایران مرکزی

داوودزاده (۱۹۷۲) به عنوان برش نمونه این سازند معرفی

شده است این سازند با یک کنگلومرا قاعده‌ای مشخص آغاز شده است و در ادامه توالی توسط ماسه‌سنگ، شیل و مارن و گاهی با حضور کنگلومرا دانه ریز به صورت تکرار شونده و با خامت بیش از سه هزار متر تشکیل یافته است. بر اساس حضور برخی فسیلهای حمل شده از جمله فرامینیفرهای بنتیک شاخص در قلوه‌های آهکی کنگلومرا قاعده‌ای مربوط به سن ائوسن زیرین، منجر به در نظر گرفتن سن ائوسن میانی برای سازند آخوره در منطقه شمال نایین گردیده است (دواوودزاده، ۱۹۷۲).

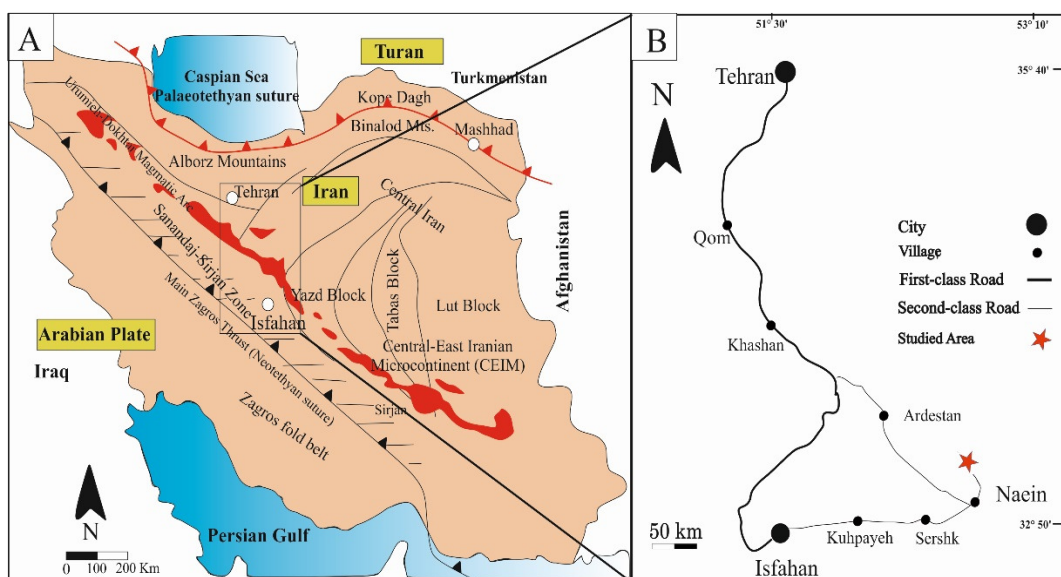
سازند آخوره در برش سوراب که در این پژوهش مورد مطالعه قرار گرفته است در ۲۵ کیلومتری شمال شهر نایین قرار دارد و در مختصات جغرافیای N ۴۷° ۰' ۳۳" و E ۳۹° ۰' ۵۳" واقع شده است (شکل ۱). در این تحقیق سعی بر آن است که شرایط محیطی و رخساره‌های بخش

### پیشگفتار

ویژگی‌های سنگی و زیستی توالی‌های ائوسن در ایران مرکزی بسیار متنوع است و نشانگر شرایط جغرافیایی متنوع و متفاوتی می‌باشد بنابراین در توالی‌های ائوسن ایران مرکزی رسوبات گوناگون منجر به رخساره‌های متنوع گردیده است ( حاجیان، ۱۳۷۵، خسروتهرانی، ۱۳۸۴). از جمله رخساره سنگ‌آهک نومولیت‌دار و مارن در نواحی مختلف ایران مرکزی نهشته شده‌اند ( درویش‌زاده، ۱۳۷۰). علاوه بر این در برخی نواحی از ایران مرکزی نظیر منطقه نایین نهشته‌های ائوسن شامل رخساره‌های عمدتاً آواری می‌باشند (آقانباتی، ۱۳۸۵). نهشته‌های به سن سنوزوییک در شمال نایین عمدتاً شامل توالی ضخیم قرمز تا ارغوانی رنگی از نهشته‌های آواری به نام سازند آخوره به سن ائوسن میانی می‌باشد که بر روی مجموعه افیولیتی نایین با سن کرتاسه بالایی قرار گرفته است. در همین منطقه که توسط

بازسازی شرایط فیزیکی، شیمیایی و زیستی حاکم بر آن می‌باشد (امینی، ۱۳۹۷). در این مقاله به منظور بازسازی محیط رسوبی بخش قاعده‌ای سازند آخره در شمال نایین در برش سوراب، رخساره‌ها و مجموعه رخساره‌ها شناسایی و توصیف و در نهایت محیط رسوبی دیرینه تفسیر می‌گردد. با توجه به اینکه تاکنون هیچگونه مطالعه محیط رسوبی بر روی سازند آخره در شمال نایین انجام نگرفته است نتایج این بررسی در بازسازی جغرافیای دیرینه این بخش از ایران مرکزی در طی زمان ائوسن میانی با اهمیت خواهد بود.

پایینی این سازند بررسی شود. رخساره‌های سنگی توسط فرایندهای رسوبی که در مناطق خاصی از محیط رسوبگذاری عمل می‌کنند، کنترل می‌شوند از این رو شناخت رخساره‌های سنگی به تفسیر فرایندهای همزمان با رسوب‌گذاری کمک می‌نماید (کاتانیانو، ۲۰۰۳). تشخیص مجموعه رخساره‌ها نیز یک عنصر برای بازسازی محیط رسوبی دیرینه است که برای تشخیص آب و هوای و تاریخچه فرونشست حوضه‌های رسوبی مناسب می‌باشد (موسوی‌حرمی، ۱۳۸۹). زمانی که از بازسازی شرایط محیطی یک محیط رسوبی صحبت به میان می‌آید منظور



شکل ۱. نقشه راه دسترسی به منطقه مورد مطالعه در شمال نایین. موقعیت تقریبی منطقه مورد مطالعه با علامت ستاره مشخص شده است.

سنگی و بررسی مشخصاتی نظیر ترکیب کانی‌شناسی و بافت آن‌ها صورت گرفته است و نام‌گذاری رخساره‌های میکروسکوپی آواری (پتروفاسیس‌ها) بر اساس تقسیم‌بندی فولک (۱۹۸۰) انجام شده است. بر اساس اندازه ذرات، رخساره‌های سنگی به سه گروه دانه درشت، متوسط و ریز تفکیک شده‌اند.

### نتایج

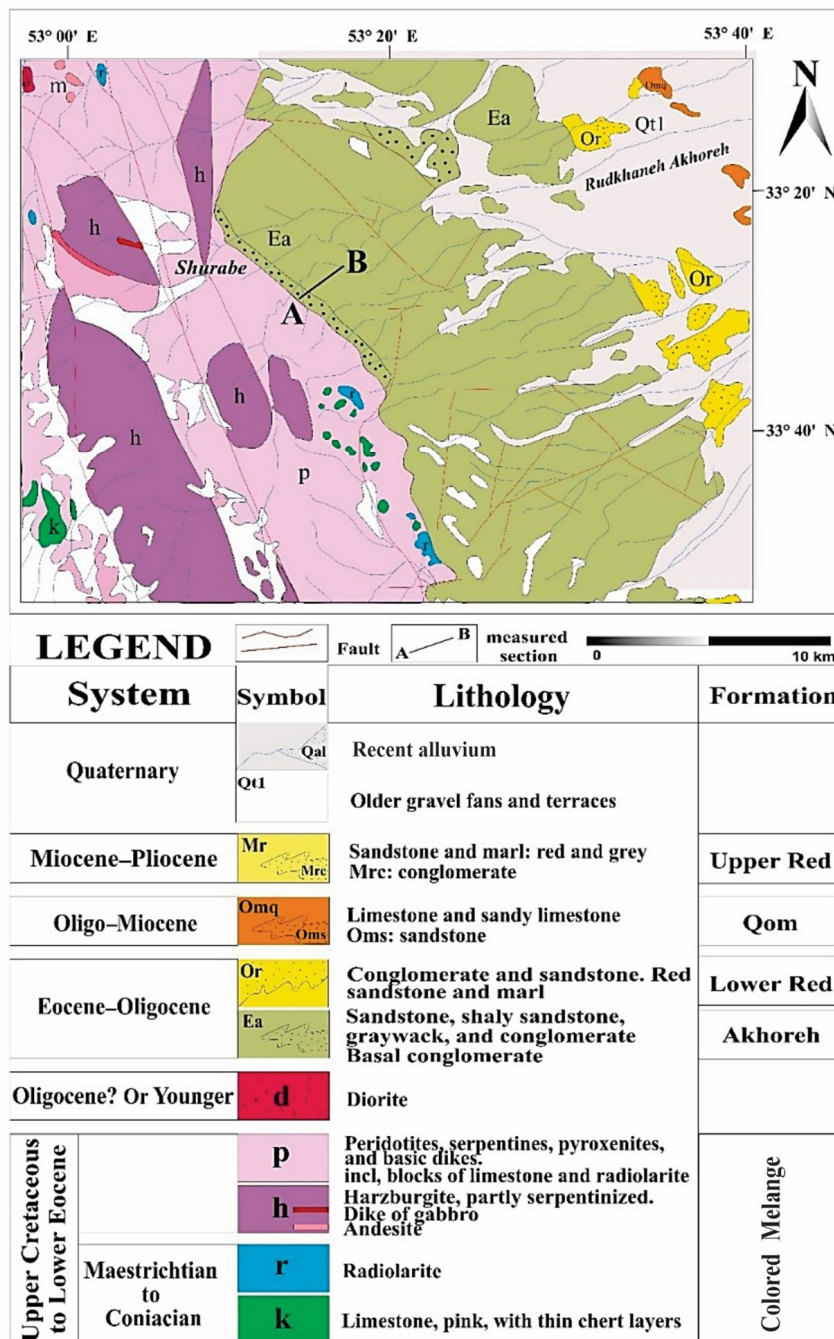
برش مورد مطالعه از سازند آخره بر روی نقشه زمین‌شناسی نایین ۱:۱۰۰۰۰۰ نشان داده شده است (شکل ۲). نهشته‌های ائوسن میانی در برش مورد مطالعه (شوراب) با ضخامت ۵۰۵ متر شامل بخش پایینی سازند آخره می‌باشد که از کنگلومرای گل‌پشتیبان، شیل و به

### روش مطالعه

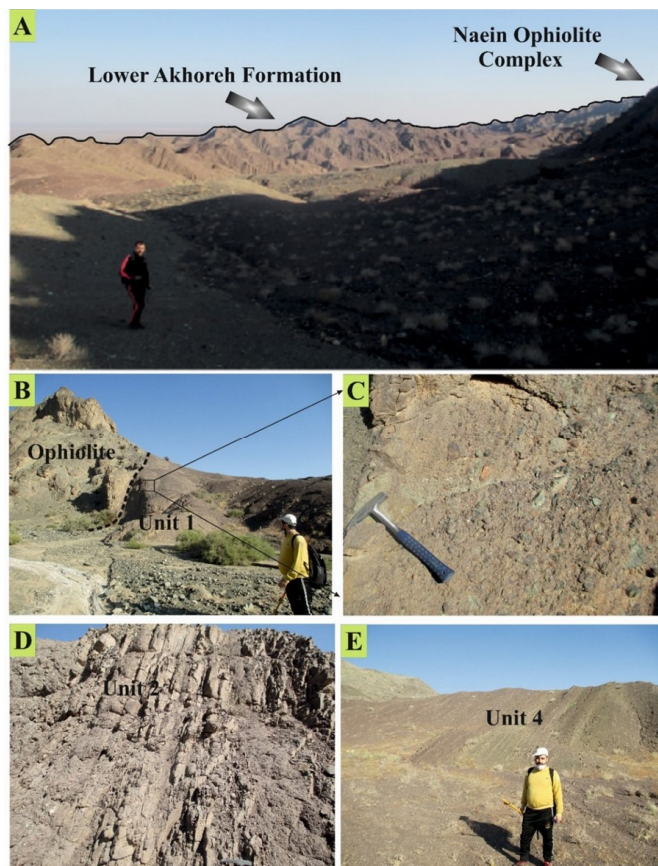
مطالعات صحرایی و نمونه‌برداری از توالی مورد مطالعه شامل اندازه‌گیری توالی نهشته‌های بخش قاعده‌ای سازند آخره به سن ائوسن میانی، ثبت ویژگی‌های سنگ‌شناسی، رنگ، ضخامت، ساخت رسوبی و مقدار شبیه لایه می‌شود. شناسایی رخساره‌ای سنگی سیلیسی آواری در صحراء، برمبنای طبقه‌بندی میال (میال، ۲۰۱۳) صورت گرفته است. نمونه‌برداری بر اساس تغییرات ویژگی‌های سنگ‌شناسی و به صورت غیرسیستماتیک انجام شده و تعداد ۲۴ نمونه برداشت شده است. مشخصات صحرایی توالی مورد مطالعه در ستون چینه‌شناسی رسم گردیده است. مطالعات پتروگرافی بر روی ۱۹ برش‌نازک ماسه‌سنگ نیز به منظور تکمیل مطالعات رخساره‌های

چینه‌ای، شناسایی رخساره‌های سنگی، عناصر ساختاری و زیر محیط‌ها و در نهایت محيط رسوبی گردیده است. تصاویر صحراوی واحدهای سنگ‌چینه‌ای در شکل‌های ۳ و ۴ آمده است.

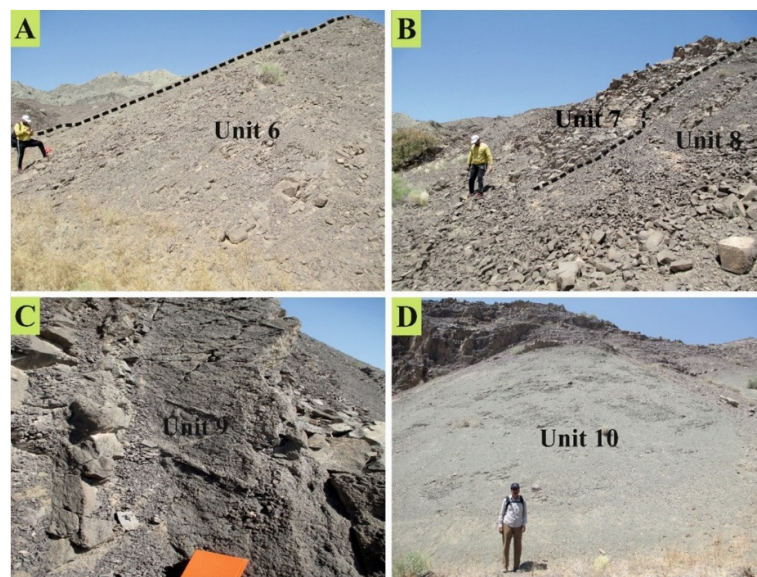
طور غالب ماسه‌سنگ‌های عمده‌تاً به رنگ قرمز ارغوانی تشکیل شده‌اند. مرز زیرین سازند آخوره با مجموعه افیولیتی نایین به صورت گسله است و این سازند به صورت هم‌شیب در زیر سازند قمز پایینی قرار می‌گیرد. مطالعات صحراوی انجام شده منجر به تفکیک ۱۰ واحد سنگ



شکل ۲. بخشی از نقشه زمین‌شناسی نایین با مقیاس ۱:۱۰۰۰۰۰ (اقتباس با تغییراتی از داودزاده، ۱۹۷۲) موقعیت برش مورد مطالعه (A-B) بر روی نقشه مشخص شده است.



شکل ۳. تصاویر صحرایی از رخنمون توالی آوسن (بخش پایینی سازند آخوره) در برش شوراب. A: نمایی کلی از رخنمون مورد مطالعه (دید به سمت خاور). B: مرز سازند آخوره و مجموعه افیولیتی نایین که به صورت گسله می‌باشد. واحد سنگ چینه‌ای شماره یک عمدتاً از کنگلومرای گل پشتیبان قرمز تشکیل شده است. C: نمایی نزدیک از کنگلومرای واحد ۱. D: نمایی نزدیک واحد ۲ که نشان‌دهنده توالی ماسه‌سنگ، سیلیستون و شیل به رنگ بنفش می‌باشد. E: توالی ماسه‌سنگ، سیلیستون و شیل واحد ۴.



شکل ۴. ادامه تصاویر صحرایی از واحدهای سنگ چینه‌ای رخنمون بخش پایینی سازند آخوره در برش شوراب. A: رخنمون ماسه‌سنگ و شیل به رنگ بنفش از واحد ۶. B: نمایی از مرز بین واحد ۷ و ۸ که نشان‌دهنده راس واحد ۷ با لیتولوژی ماسه سنگ بنفش و قاعده واحد ۸ با لیتولوژی شیلی می‌باشد. C: نمایی نزدیک ماسه‌سنگ متوسط دانه از واحد ۹. D: رخنمون صحرایی واحد ضخیم (۳۱ متر) از شیل سبز واحد ۱۰.

می‌باشد. جنس قطعات از سنگ‌های آذرین و رسوبی می‌باشد. قطعات تشکیل دهنده با اندازه متفاوت در بین ماتریکس موجود می‌باشد (شکل ۵.B).

این رخساره در اثر جریان‌های خردودار پلاستیسیته با ویسکوزیته پایین تشکیل می‌گردد (وون و همکاران، ۲۰۰۲؛ میال، ۲۰۱۳)، (جدول ۱).

**رخساره کنگلومراپی Gci:** این رخساره مخفف Clast Supported Conglomerate می‌باشد (میال، ۲۰۱۳). این رخساره در بین رخساره‌های کنگلومراپی با دانه‌بندی تدریجی قابل مشاهده است و به رنگ قرمز ارغوانی کمرنگ دیده می‌شود. اندازه دانه‌ها در حد کابل (۱۲۸ میلی‌متر) می‌باشد. در بین نهشته‌های کنگلومراپی دانه‌بندی درشت شونده و ریز شونده به سمت بالا قابل مشاهده است (شکل ۵.C). این رخساره دارای روندی درشت شونده در اندازه دانه به سمت بالا می‌باشد (شکل ۵.C-D). رخساره مذکور به صورت عمودی به رخساره دانه متوسط Sh و دانه ریز Fl ختم می‌شود و دارای میان لایه‌های ماسه‌سنگ می‌باشد. این رخساره در اثر جریان‌های خردودار غنی از دانه و جریان‌هایی با کشش بالا و پلاستیسیته کاذب و جریان کشش پایین تشکیل می‌شود (وون و همکاران، ۲۰۰۲؛ میال، ۲۰۱۳؛ کومار و همکاران، ۲۰۲۱)، (جدول ۱).

**رخساره کنگلومراپی Gcm:** این رخساره تحت عنوان Clast Supported massive Conglomerate (میال، ۲۰۱۳). این رخساره در بخش‌های مختلف از برش مورد مطالعه قابل مشاهده است. رخساره‌های کنگلومراپی توده‌ای قطعات پشتیبان بوده که دارای رنگ قرمز است و دارای دانه‌های بزرگ و کم گرد شده گراولی از جنس قطعات چرت، سیلیس و قطعات سنگی آذرین است (شکل ۵.E). اندازه دانه در این رخساره در تغییر و از حد گرانول تا کابل (۲۵۶-۲ میلی‌متر) می‌باشد و به صورت عمودی به رخساره‌های دانه ریز Fl و Fm تبدیل می‌شود. این رخساره دارای ساخت توده‌ای و بدون نظم و Massive است. این رخساره با میان لایه‌هایی از رخساره دانه ریز Fl همراه می‌باشد، که می‌تواند بیانگر کاهش ناگهانی سرعت و آرام شدن ناگهانی انرژی محیط باشد. این رخساره بدون دانه‌بندی در لایه‌ها و ایمپریکاسیون بوده و دارای مقدار کمی ماتریکس می‌باشد. تغییر در اندازه یک رخساره نشان از تغییر انرژی جریان می‌باشد (وون و همکاران، ۲۰۰۲). این رخساره توسط جریان‌های خطی و آشفته و همچنین

### رخساره‌های سنگی

در این مطالعه تشخیص رخساره‌های سنگی بر اساس طبقه‌بندی میال (میال، ۲۰۱۳) انجام گردید. رخساره‌های سنگی شناسایی شده در سازند آخره به سه دسته دانه درشت، متوسط و ریز دانه تقسیم شده و در مجموع ۱۱ رخساره‌های سنگی شناسایی شده است که به شرح زیر است (جدول ۱).

### رخساره‌های سنگی دانه درشت

تعداد شش رخساره‌های سنگی دانه درشت در سازند آخره شامل Gmm، Gmg، Gci، Gcm، Gp، Gh شناسایی شده است.

**رخساره کنگلومراپی Gmm:** این رخساره تحت عنوان Matrix Supported Massive Conglomerate شده است و به کنگلومراپی توده‌ای که حاوی مقدار زیادی ماتریکس ماسه‌ای باشد گفته می‌شود (میال، ۲۰۱۳). این رخساره در بخش قاعده‌ای سازند آخره در واحد سنگ‌شناسی شماره یک حضور دارد و دارای رنگ قرمز می‌باشد. این رخساره دارای لایه‌بندی بسیار ضعیف بوده و دانه‌ها دارای اندازه‌ای در حد ۱۰ سانتی‌متر و گاه‌آ بزرگ‌تر بصورت پراکنده در بین ماتریکس قابل شناسایی می‌باشند (شکل ۵.A). جنس قلوه‌ها در این رخساره عمدتاً از نوع آذرین، رسوبی و به مقدار کمتر دگرگونی می‌باشد. این قلوه‌ها عمدتاً از منشأ مجموعه افیولیتی می‌باشد، برخی قطعات شاخص شامل خردسنج‌های گابرو، بازالت، سرپنتینیت و چرت‌های رادیولاریتی می‌باشد. رنگ اکثر قلوه‌ها به جز قلوه‌های رادیولاریتی سیاه تا سبز تیره می‌باشد. این رخساره به سمت بالای توالی به رخساره‌های دانه درشت Gmg و رخساره‌های دانه ریز Fl تبدیل می‌شود (شکل ۸). جریان واریزهای پلاستیک و غلیظ با انرژی بالا سبب تنشست این رخساره می‌گردد (وون و همکاران، ۲۰۰۲؛ میال، ۲۰۱۳) (جدول ۱).

**رخساره کنگلومراپی Gmg:** این رخساره به اختصار Matrix Supported Conglomerate می‌باشد (میال، ۲۰۱۳). این رخساره دارای لایه‌هایی با دانه‌بندی تدریجی نرمال و معکوس است. این رخساره دارای قطعات متفاوت و در اندازه گرانول تا کابل (۲۵۶-۲ میلی‌متر) می‌باشد. این رخساره که بخش زیادی از رخساره‌های کنگلومراپی برش مورد مطالعه را تشكیل داده است دارای رنگ قرمز روشن

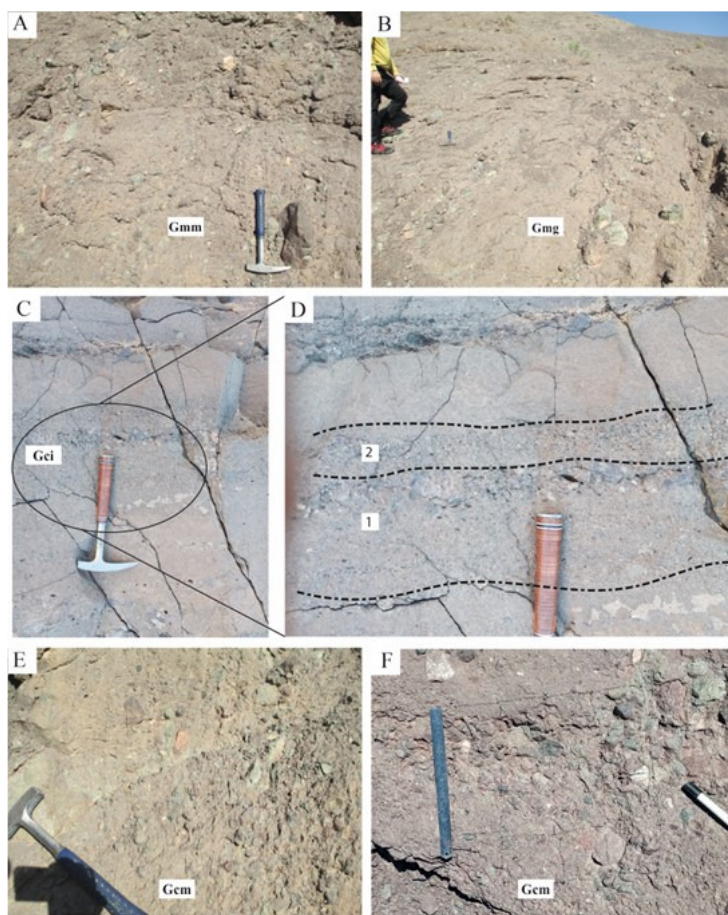
این رخساره صورتی روشن است. دانه‌ها اغلب از جنس سنگ‌های آذرین است که دارای گرددگی نسبتاً ضعیفی هستند. در این رخساره قلوه‌ها دارای جهت‌یابی واضحی هستند و بنظر می‌رسد دارای جهت جریان دیرینه‌ای یک طرفه باشند (شکل ۶-A-B). در لایه‌بندی مورب مسطح لایه‌های شیب‌دار وجود دارد که سطح بالایی آن‌ها با سطح افق به صورت مماسی یا زاویه‌دار می‌باشد که عمدتاً به نسبت سرعت جریان و میزان حمل و نقل رسوب بستگی دارد (تاکر، ۲۰۰۱). این رخساره به صورت عمودی به رخساره دانه ریز Fl، Fm ختم می‌شود. این ساخت در اثر رسوب‌گذاری در قسمت پشتی ریپل مارک‌ها، دون‌ها، امواج ماسه‌ای، سدها و یا در روی مخروط‌ها و دلتاهای کوچک تشکیل می‌گرددند (تاکر، ۲۰۰۱). این رخساره در اثر مهاجرت سدهای طولی و زبانه‌ای در بخش‌های عمیق کanal و اشکال بستر عرضی و سدهای عرضی نیز پدید می‌آید (میال، ۱۹۹۷؛ ۲۰۱۳)، (جدول ۱).

جریان‌های خردمند با پلاستیسیته کاذب و ویسکوزیته و بار رسوبی بالا بر جای گذاشته می‌شود (وون و همکاران، ۲۰۰۲؛ میال، ۲۰۱۳). این رخساره احتمالاً در اثر حمل و نقل بار بستر به صورت نهشته‌های باقی مانده کانالی و از جریان‌هایی که سرعت و انرژی بالایی دارند تشکیل شده‌اند (پتیت و همکاران، ۲۰۰۵؛ ایتو و همکاران، ۲۰۰۶). تشکیل این رخساره بیانگر انرژی بالای محیط در هنگام رسوب‌گذاری بوده و به علت تشکیل در شرایط جریان آشفته، حالت توده‌ای دارند (ریدینگ و کولینسون، ۱۹۹۶؛ کاستیک و همکاران، ۲۰۰۵). این رخساره در نواحی پر شیب و پر انرژی بر جا گذاشته می‌شود (وون و همکاران، ۲۰۰۲؛ میال، ۲۰۱۳).

**Rxساره کنگلومراي Gp:** اين رخساره در واقع رخساره Planar Cross Beds درشت با طبقه‌بندی مورب مسطح است (میال، ۲۰۱۳). اندازه دانه‌ها در اين رخساره در حد پيل و گاهاً كابل (۲۵۶-۱۶ ميلى متر) می‌باشد و رنگ

جدول ۱. کدهای رخساره‌ای شناسایی شده در بخش قاعده‌ای سازند آخره برش مورد مطالعه به همراه ساختار رسوبی و تفسیر شرایط تشکیل (اقتباس با تغییرات از میال، ۲۰۱۳).

Facies code	Facies	Sedimentary structure	Interpretation
Gmm	Matrix supported, massive conglomerate	Weak grading	Plastic debris flow (high strength, viscous)
Gmg	Matrix supported, conglomerate	Inverse to normal grading	Pseudoplastic debris flow (low strength viscous)
Gci	Clast supported conglomerate	Inverse grading	Clast rich debris flow (high strength, or pseudoplastic debris flow (low strength))
Gcm	Clast supported massive conglomerate	--	Pseudoplastic debris flow (inertial bedload, turbulent flow)
Gp	conglomerate, stratified	Planar cross beds	Transverse bedforms or bar remnants
Gh	Clast supported crudely bedded conglomerate	Horizontal bedding imbrication	Longitudinal bedforms lag deposits, sieve deposits
Sh	Very fine to coarse, grained sandstone	Horizontal lamination parting or streaming lineation	Plane-bed flow (critical flow)
Sm	Fine to coarse grained sandstone	Massive or faint lamination	Sediment gravity flow deposits
Fm	Mudstone, siltstone	Massive, desiccation cracks	Overbank, abandoned channel, or drape deposits
Fsm	Siltstone , mudstone	Massive	Backswamp or abandoned channel deposits
Fl	Siltstone , mudstone	Fine lamination	Overbank, abandoned channel, or waning flood deposits
P	Paleosol carbonate (calcite, siderite)	Pedogenic features: nodules, filaments	Soil with chemical precipitation



شکل ۵. تصاویر صحرایی انواع رخساره‌های سنگی شناسایی شده در سازند آخوره پرش شوراب. A: رخساره دانه درشت Gmm. B: رخساره دانه درشت Gmg. C-D: رخساره دانه درشت Gci. عدد ۱ نشان‌دهنده دانه‌بندی درشت شونده به سمت بالا یا همان رخساره دانه درشت Gci است و عدد ۲ نشان‌دهنده دانه‌بندی تدریجی ریز شونده به سمت بالا است. آثار خاکزایی رخساره P به صورت لکه‌های با رنگ روشن در تصاویر مشخص می‌باشد. E: رخساره دانه درشت Gem. F: رخساره دانه درشت Gem.

۲۰۰۷). این رخساره به توسط اشکال توده‌ای لایه‌ای، نهشته‌های باقی‌مانده، نهشته‌های غربال شده و اشکال لایه‌ای متقطع و مهاجرت جانبی سدهای طولی و رسوبات باقی‌مانده در کف کانال تشکیل می‌شود (میال، ۲۰۱۳) (جدول ۱). رخساره‌های ماسه‌ای در سیستم رودخانه‌ای نتیجه انتقال ماسه به وسیله جریان‌های کششی به صورت بار بستر و با جریان‌های جهشی هستند (میال، ۲۰۱۳).

#### رخساره‌های سنگی دانه متوسط

تعداد دو رخساره سنگی دانه متوسط در بخش قاعده‌ای سازند آخوره شامل Sh, Sm شناسایی شده است (جدول ۱).

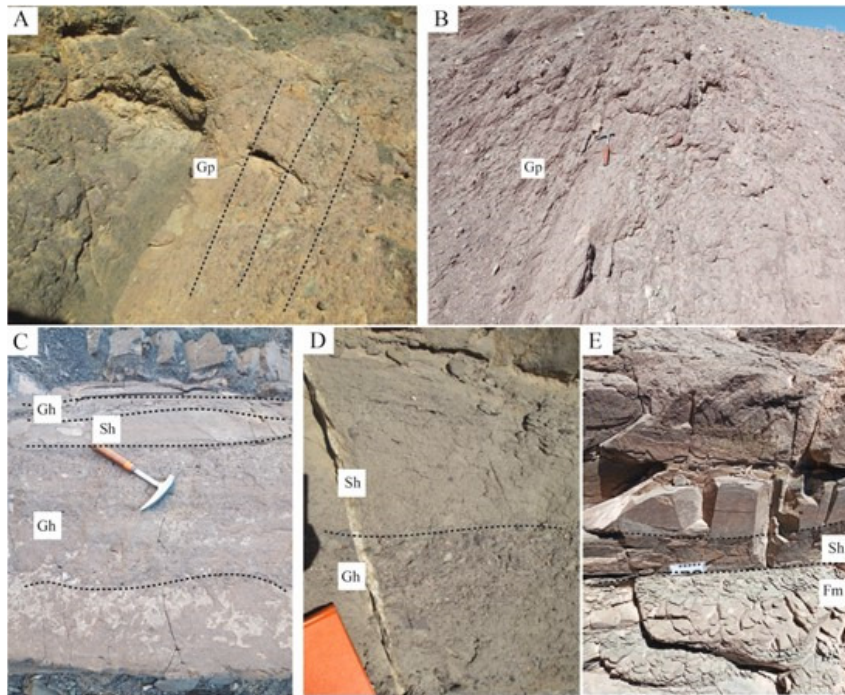
**رخساره ماسه‌سنگی Sh:** این رخساره مخفف Horizontally Bedded Sandstone است (میال، ۲۰۱۳) این رخساره دارای ذرات در حد ماسه دانه ریز تا متوسط

**رخساره کنگلومرازی Gh:** این رخساره تحت عنوان Clast Supported Horizontally Stratified Conglomerate می‌باشد (میال، ۲۰۱۳). اندازه دانه‌ها در این رخساره در حد پبل (۱۶ میلی‌متر) می‌باشد. این رخساره دارای قطعاتی با جهت‌گیری نسبتاً افقی می‌باشد. جنس قطعات همانند سایر رخساره‌های کنگلومرازی چرت و خردمنگ‌های آذرین است. دانه‌ها برخی کمی گرد شده و برخی زاویه‌دار هستند (شکل ۶C). در این رخساره گاهماً لایه‌هایی با دانه‌بندی تدریجی قابل مشاهده است که دارای رنگ ارغوانی و گاهماً مایل به خاکستری می‌باشند. در بین این رخساره گاهی میان لایه‌های ماسه‌سنگی با ا نوع ساخت افقی قابل مشاهده است. این رخساره در بالا به رخساره دانه متوسط Sh ختم می‌شود (شکل ۶D).

این رخساره حاصل مهاجرت سدهای طولی و یا حاصل رسوبات باقی‌مانده کف کانال می‌باشد (کیم و همکاران،

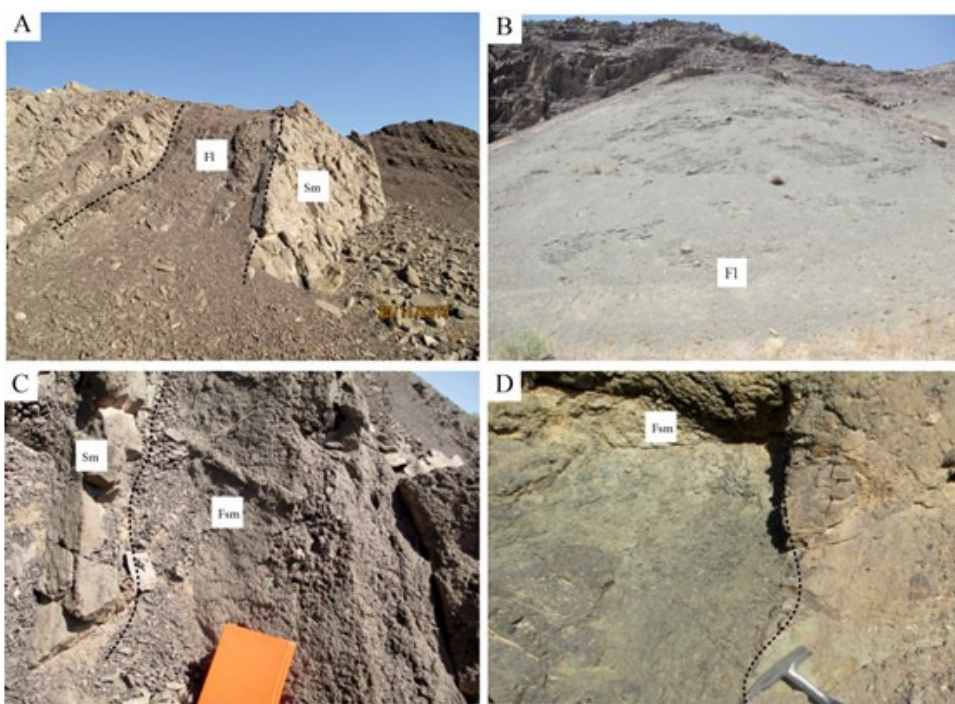
**رخساره ماسه‌سنگی Sm:** این رخساره مخفف Massive or Faint Lamination است (میال، ۲۰۱۳). بخش زیادی از ماسه‌سنگ‌های موردن مطالعه دارای حالت توده‌ای هستند. تغییرات اندازه دانه در این رخساره از ماسه ریز تا درشت دانه می‌باشد (۰/۱۲۵-۰/۰۵ میلی‌متر) و به صورت عمودی به رخساره دانه‌ریز Fl، Fm ختم می‌شود. رنگ این رخساره به صورت قرمز روشن تا خاکستری می‌باشد (شکل ۷-A-C). در این رخساره رسوب‌گذاری ذرات توسط جریان‌های کششی صورت نگرفته زیرا در رسوبات ماسه‌ای که توسط جریان‌های کششی تشکیل شده‌اند لامیناسیون‌هایی به اشکال مختلف دیده می‌شود (بلت و همکاران، ۱۹۸۰). نبود لامیناسیون و فقدان ساختمان رسوبی در رسوبات این رخساره، نهشته شدن این رخساره توسط جریان گراویتی‌ای یا رسوب‌گذاری سریع ذرات معلق در آب نشان می‌دهد (موسی‌حرمی، ۱۳۸۹؛ قاضی و مونتی، ۲۰۰۹؛ میال، ۲۰۱۲).

(۰/۱۲۵-۰/۰۵ میلی‌متر) با ساختار طبقه‌بندی افقی می‌باشد. رخساره‌ی Sh جزو فراوان‌ترین رخساره‌های ماسه‌سنگی موجود در برش موردن مطالعه می‌باشد و دارای رنگ‌های سبز، خاکستری و قرمز ارغانی می‌باشد. پتروفاسیس رخساره‌ی مذکور بر اساس ترسیم داده‌های نقطه شماری در مثلث فولک (۱۹۸۰) غالباً فلدسپاتیک لیت‌آرنایت بوده و این رخساره دارای لامیناسیون‌های افقی است (شکل ۶-D-E). بیشتر لامیناسیون‌های افقی در سطح خود دارای جدایی خطی<sup>۱</sup> هستند، که این خطوط به موازات جهت جریان قدیمه قرار دارند. این رخساره گاه‌ها در پایین با رخساره Gci و در بالا به رخساره Fl ختم می‌شود (شکل ۸). این رخساره با اندازه‌های متفاوت و در سرعت‌های متفاوت جریان تشکیل می‌شود (لی و چوق، ۲۰۰۶؛ میال، ۲۰۱۳). این رخساره در توالی موردنظر در سرعت‌های بالای آب تشکیل شده است (سلی، ۱۹۹۶). همچنین این رخساره در محیط‌های بار بستر مسطح، ورقه‌های ماسه‌ای مسطح در رژیم بالا و پایین جریان تشکیل می‌شود (میال، ۲۰۱۳)، (جدول ۱).



شکل ۶. ادامه تصاویر صحراوی انواع رخساره‌های سنگی شناسایی شده در سازند آخوره برش شوراب. A: رخساره دانه درشت بخشی از کنگلومراهای نهشته شده دارای لایه‌بندی. C: رخساره دانه درشت Gh و متوسط Sh. D: Sh رخساره دانه متوسط Sh به همراه رخساره دانه ریز Fm.

<sup>۱</sup> Parting lineation



شکل ۷. ادامه تصاویر صحراوی انواع رخساره‌های سنگی دانه متوسط و ریز شناسایی شده در سازند آخوره برش سوراب. A: رخساره دانه متوسط Sm به صورت توالی تکرار شونده، رخساره ریز دانه Fl؛ B: رخساره دانه ریز Fl؛ C: رخساره دانه متوسط Sm و رخساره ریز دانه Fsm؛ D: رخساره دانه ریز Fsm

که به صورت توده‌ای و بدون لامیناسیون دارای رنگ قرمز مایل به خاکستری می‌باشد (شکل ۷). این رخساره در سیلیستون‌های برش مورد مطالعه وجود دارد. در سطح این رخساره ترک‌های گلی قابل مشاهده است که ترک‌ها توسط رسوبات کمی درشت‌تر در حد ماسه پر شده‌اند (شکل ۷). این رخساره به رخساره Sh ختم می‌شود. این رخساره در محیط‌های خارج کانال یا حاصل تنهشست رسوبات در انرژی پایین جریان در بالای پسته‌ها و یا در دشت سیلانی نهشته می‌شود (میال، ۲۰۱۳) (جدول ۱). رخساره ریزدانه Fsm: این رخساره توده‌ای<sup>۲</sup> بوده و دارای ذرات در حد سیلت و گل (۰/۰۳۹-۰/۰۳۱ میلی‌متر) می‌باشد. رنگ این رخساره اغلب قرمز می‌باشد. این رخساره گاهای پس از رخساره دانه متوسط Sh نهشته شده است (شکل ۷-C-D). این رخساره پس از نهشته‌های موجی و یا در نهشته‌های کانالی تشکیل می‌شود (میال، ۲۰۱۳) (جدول ۱). این رخساره نشان‌دهنده نهشته‌های حاصل از فروکش جریان‌های سیلانی قوی است که قدرت جریان به اندازه کافی برای نهشته رسوبات تخریبی در اندازه گل و سیلت از جریان معلق است. وجود سطح تماس تحتانی

#### Rxساره‌های سنگی دانه‌ریز

تعداد سه رخساره سنگی دانه‌ریز در بخش قاعده‌ای سازند آخوره شامل Fl, Fm, Fsm شناسایی شده است.

**Rxساره ریزدانه Fl:** این Rxساره اختصار lamination می‌باشد (میال، ۲۰۱۳). Rxساره‌ی ریز دانه Fl دارای دانه‌هایی در اندازه سیلت ریز و گاه‌اگل (۰/۰۳۹-۰/۰۷۸ میلی‌متر) است. رنگ Rxساره اغلب سبز مایل به خاکستری است (شکل ۷-A-B). لامیناسیون موازی بازترین و مهم‌ترین ساخت در Rxساره‌ی مذکور می‌باشد. این Rxساره اغلب در انرژی پایین جریان آب و در نتیجه جریان‌های تعليقی حاصل شده است (هيگ و همکاران، ۲۰۱۲؛ میال، ۲۰۱۳). این Rxساره در حاشیه کانال‌های مترونک، جریان‌های سیلانی فروکش کرده، تنهشست ذرات معلق در اثر کاهش سرعت جریان در منطقه خارج کانال و بالای پسته‌های ماسه‌ای<sup>۱</sup> و در تنهشست ذرات معلق در انرژی پایین جریان تشکیل می‌شود (میال، ۲۰۱۳).

**Rxساره ریزدانه Fm:** این Rxساره desiccation cracks می‌باشد (میال، ۲۰۱۳). این Rxساره دارای ذرات سیلت و گل بوده (۰/۰۳۱-۰/۰۳۹ میلی‌متر)

<sup>2</sup> Massive

<sup>1</sup> Over bank

رخساره‌های دانه درشت فراوان‌تر و رخساره‌ای دانه‌ریز دارای فراوانی کمی در این مجموعه رخساره می‌باشند. رخساره Gmm حاصل جریان‌های خرده‌دار با کشش و گرانروی بالا (به علت ماتریکس زیاد) می‌باشد، همچنین Gmg حاصل جریان با کشش و گرانروی پایین می‌باشد (میال، ۲۰۱۳). رخساره Gci جریان با قطعات زیاد و بسته به شرایط کشش جریان می‌تواند متفاوت باشد. رخساره Gem نشان‌دهنده جریان آشفته و بار رسوی بالا می‌باشد (میال، ۲۰۱۳). رخساره‌های کنگلومرایی Gh توسط جریان‌های دائم رودخانه و رسوبات باقی مانده و بار بستر رودخانه تشکیل شده است (آینسل، ۲۰۰۰؛ میال، ۲۰۱۳)، رخساره Gp ناشی از حرکت جانبی رودخانه به سمت پایین دست می‌باشد (آینسل، ۲۰۰۰؛ میال، ۲۰۱۳). همچنین وجود خاک دیرینه در این مجموعه رخساره بیانگر تشکیل کلسیت حاصل تبخیر و یا خروج گاز دی اکسید کربن است و خروج از آب و دوره با آب و هوای نسبتاً گرم می‌باشد.

**مجموعه رخساره ۲ (FA2):** این مجموعه رخساره دارای رخساره‌های دانه‌ریز F1 می‌باشد و گاه‌هاً دارای میان لایه‌هایی از رخساره دانه متوسط Sh و Sm می‌باشد (شکل ۸). رخساره دانه متوسط در این مجموعه رخساره دارای پتروفاسیس فلدسپاتیک لیت‌آرنایت و لیتیک آركوز می‌باشد. وجود رخساره‌های ریز دانه نشان‌دهنده رسوبات نواحی دشت سیلابی و ناشی از رسوبگذاری ذرات از حالت معلق در رژیم‌های جریانی آهسته و نواحی دور از منشا می‌باشد (میال، ۲۰۱۳). همچنین میان لایه‌هایی از رخساره‌های دانه متوسط نشان‌دهنده افزایش انرژی نسبت به رخساره‌های ریز دانه می‌باشد که پس از فروکش جریان‌های سیلابی نهشته شده و تا نواحی نزدیک به رخساره‌های ریزدانه نیز رسیده است. رخساره دانه ریز F1 ناشی از رسوبات نواحی خارج از کاتال و دشت‌سیلابی ناشی از رسوبگذاری ذرات از حالت معلق در رژیم‌های جریانی آهسته و رخساره Fsm مربوط به رسوبات دشت‌سیلابی نهشته شده در رژیم جریانی پایین و در نواحی دور از منشا می‌باشد (آینسل، ۲۰۰۰؛ میال، ۲۰۱۳).

**مجموعه رخساره ۳ (FA3):** این مجموعه رخساره دارای رخساره‌های دانه متوسط Sh, Sm می‌باشد. رخساره‌های دانه متوسط این مجموعه رخساره دارای پتروفاسیس لیتیک آركوز و فلدسپاتیک لیت‌آرنایت می‌باشد. در بین

مشخص در قاعده این رخساره نیز رویدادهای سیلابی ناگهانی را پیشنهاد می‌کند که با رسوب‌گذاری بار معلق در طی فروکش جریان دنبال شده است (قاضی و مونتی، ۲۰۰۹؛ لوپز- گومز و همکاران، ۲۰۱۰؛ میال، ۲۰۱۳، گووش، ۲۰۱۴).

**رخساره خاک دیرینه P:** رخساره خاک دیرینه شناسایی شده در توالی مورد مطالعه در رخساره‌های آواری دانه درشت و متوسط و در واحدهای چینه‌سنگی پایینی سازند آخره شناسایی شده است (شکل ۵ C-D). این آثار خاک دیرینه به صورت لکه‌ای و وصله‌ای به رنگ روشن با اندازه‌های در حد سانتی‌متر هستند و احتمالاً از نوع کلسیتی می‌باشند. فرایندهای تشکیل خاک‌های دیرینه نشان‌دهنده تنایوی از دوره‌های خشک و مرطوب است (موسی‌حرمی و همکاران، ۲۰۰۹). این خاک‌ها در توالی‌های سیلیسی آواری و کربنات و در محیط‌های رسوی مختلف یافت شده‌اند (آلونزو زارزا، ۲۰۰۳). خاک‌های دیرینه اطلاعات مهمی در مورد شرایط آب و هوای دیرینه، میزان  $\text{CO}_2$  اتمسفر دیرینه و نرخ رسوبگذاری به ویژه در در حوضه‌های رسوبگذاری قاره‌ای محسوب می‌شود (ریتالک، ۱۹۹۸؛ آلسو زارزا، ۲۰۰۳؛ دی لا هورا و همکاران، ۲۰۰۸؛ میال، ۲۰۱۳). تشکیل کلسیت حاصل تبخیر و یا خروج گاز در اکسید کربن است.

### مجموعه رخساره‌های آواری

در این مطالعه رخساره‌های سنگی آواری در قالب چهار مجموعه رخساره<sup>۳</sup> دسته‌بندی شده‌اند که در زیر به شرح آن‌ها پرداخته شده است.

**مجموعه رخساره ۱ (FA1):** این مجموعه رخساره اغلب شامل رخساره‌های دانه درشت کنگلومرایی بوده که در ابتدای برش مورد مطالعه قابل مشاهده است. علاوه بر رخساره دانه درشت گاه‌هاً رخساره ریز دانه و با فراوانی کمتر مجموعه رخساره متوسط دانه قابل مشاهده است (شکل ۸). این مجموعه رخساره دارای رخساره‌های دانه درشت F1, Fm, Fsm و Gh است. علاوه بر Sm, Sh و Gmg, Gci, Gem, Gp رخساره‌های دانه درشت رخساره دانه متوسط Sm, Sh, F1, Fm, Fsm در این مجموعه رخساره قابل مشاهده است. رخساره دانه متوسط Sh دارای پتروفاسیس فلدسپاتیک لیت‌آرنایت می‌باشد. لازم به ذکر است

<sup>3</sup> Facies Association

معمولًا به صورت گستردگی در کف کانال و به احتمال زیاد بر اثر مهاجرت سدهای طولی در بالادست رودخانه تشکیل شده‌اند و بطور متناسب با عناصر ساختاری SG و SB مشاهده می‌شود (شکل ۸). این زیر محیط عمده‌تر بر اثر مهاجرت سدهای گراوی در سیستم‌های رودخانه‌ای بریده بریده با بار بستر گراوی تشکیل شده است (میال، ۲۰۱۳). براساس تغییرات ارتفاع و سطح زمین و تغییر بستر انواع حالت‌ها و شکل‌های مختلف سدها و پشت‌های عمدتاً طولی ایجاد می‌شود (کونر-استیچ و همکاران، ۲۰۱۸). اغلب در محیط‌های رودخانه‌ی بریده وجود رخساره‌های دانه درشت نشان‌دهنده بخش‌هایی بالایی از مخروط‌افکنه‌ی واپس‌هه به این سیستم یا کانال‌های رودخانه می‌باشدند (امینی، ۱۳۹۷).

**عنصر ساختاری SG (Sediment Gravity flow):** این عنصر ساختاری شامل مجموعه رخساره ۱ می‌باشد (شکل ۸). این مجموعه رخساره دارای انواع کدهای رخساره‌ای درشت دانه از قبیل Gmm, Gmg, Gci, Gcm است. در این عنصر ساختاری کنگلومراها گاهًا دانه‌پشتیبان (Gcm) و اغلب ماتریکس (Gmm, Gmg) پشتیبان هستند. دانه‌بندی اغلب به صورت ریز شونده به سمت بالا ولی توالی درشت شونده به بالا در رخساره Gci نیز وجود دارد. این مجموعه رخساره عمده‌تر تحت تاثیر جریان‌های خردکار و جریان‌های رسوبی حاصل از نیروی گرانی با نرخ رسوب‌گذاری بالا در محیط رسوبی تجمع پیدا کرده‌اند. این عنصر ساختاری معمولًا به فرم گستردگی و ورقه‌ای و بطور متناسب با عنصر GB یافت می‌شوند. جریان‌های خردکار غالباً پهن و به فرم ورقه ای هستند (میال، ۲۰۱۳).

**عنصر ساختاری OF (Floodplain):** این عنصر ساختاری را اغلب رخساره‌های دانه ریز تشکیل می‌دهد. این عنصر ساختاری دارای انواع کدهای رخساره‌ای دانه متوسط (Sh) و دانه‌ریز (Fsm, Fm) می‌باشد. این عنصر ساختاری پس از مجموعه رخساره دانه درشت نهشته شده است. عنصر ساختاری مذکور دارای سیلتستون با میان لایه‌های گل و شیل می‌باشد که بخش اعظم شیل را شیل‌های سبز تشکیل می‌دهد. این عنصر دارای مجموعه رخساره ۲ و ۴ می‌باشد (شکل ۸). وجود رخساره‌های ریزدانه نشان‌دهنده رسوبات نواحی دشت‌سیلابی و ناشی از

این رخساره مجموعه رخساره دانه ریز Fsm و Fl نیز به صورت جزیی قابل مشاهده است (شکل ۸). رخساره‌های دانه متوسط این مجموعه رخساره احتمالاً در انرژی بالای جریان، در بالای پشت‌های یا داخل کانال و پس از فروکش جریان‌های سیلابی نهشته شده است (آینسل، ۲۰۰۰؛ میال، ۲۰۱۳). رخساره Sh و Sm بیانگر رژیم جریانی پابین و هنگام فروکش کردن جریان‌های سیلابی می‌باشد (آینسل، ۲۰۰۰؛ میال، ۲۰۱۳). رخساره Fm مربوط به کاهش ناگهانی انرژی جریان در رسوب گذاری سریع ذرات معلق در شرایط جریانی آرام می‌باشد (میال، ۲۰۱۳). وجود این مجموعه رخساره پس از مجموعه رخساره FA2 با میزان بالای رخساره‌های ریزدانه نشان‌دهنده افزایش انرژی محیط و عدم سکون و آرامش نسبی محیط رسوب گذاری دارد. در طی این مجموعه رخساره از پایین به بالای توالی شاهد افزایش رخساره‌های ریزدانه بوده که نشان از بازگشت محیط به سکون، آرامش نسبی و میزان نرخ پابین رسوب‌گذاری است.

**مجموعه رخساره ۴ (FA4):** این مجموعه رخساره دارای رخساره دانه‌ریز شیل سبز با کد رخساره‌ای Fl می‌باشد. شیل‌های سبز در ضخامت‌های کم در مجموعه رخساره FA3 نیز قابل مشاهده است (شکل ۸). اما این مجموعه رخساره تمامًا دارای رخساره شیل سبز می‌باشد که بیانگر رسوبات نواحی خارج از کانال و دشت‌سیلابی و همچنین ناشی از رسوب‌گذاری ذرات از حالت معلق در رژیم‌های جریانی آهسته می‌باشد.

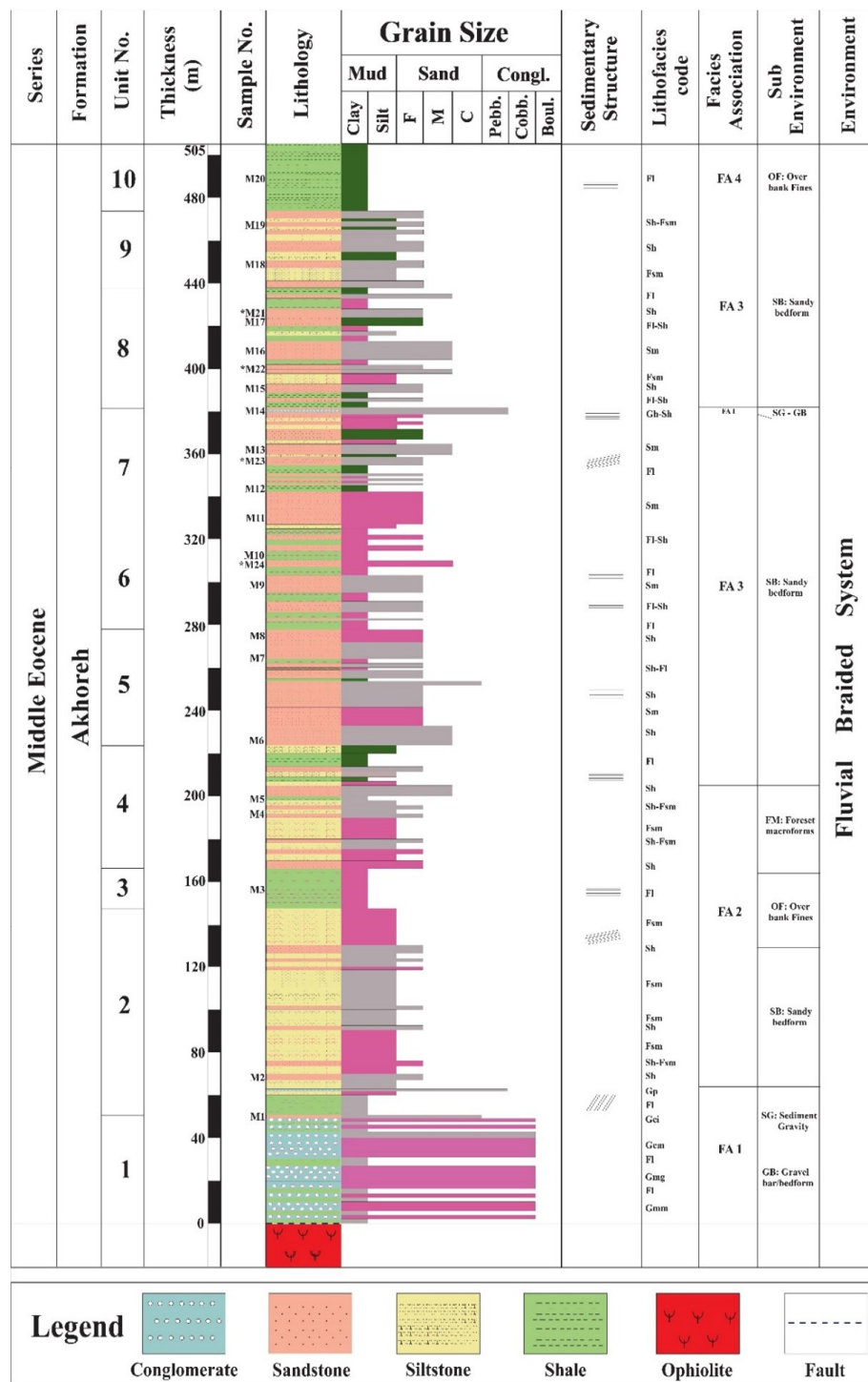
### عناصر ساختاری

شناسایی رخساره‌ها، پتروفاسیس‌ها، رخساره‌های سنگی آواری ایجاد شده توسط تغییرات شرایط فیزیکی محیط و بررسی تغییرات عمودی و جانبی آن‌ها در تفسیر محیط رسوبی دیرینه حائز اهمیت است. از بررسی‌های حاصله چهار عنصر ساختاری که منطبق بر مجموعه رخساره‌های تشریح شده است مورد شناسایی و بررسی قرار گرفته است.

**عنصر ساختاری GB (Gravel-bar):** این عنصر ساختاری اغلب دارای رخساره‌ای Gh, Gp, Gmm است. این عنصر ساختاری تحت عنوان اشکال لایه‌ای و سدهای گراوی نامیده می‌شود که از مجموعه رخساره‌های سنگی ذکر شده تشکیل شده است. این عنصر ساختاری شامل مجموعه رخساره ۱ می‌باشد (شکل ۸). این عنصر ساختاری

مسطح بخش کمی از توالی مورد مطالعه را به خود اختصاص می‌دهد (شکل ۸). این مجموعه رخساره با مشخصات فوق ذکر شده مربوط به دشت‌سیلانی یک سیستم رودخانه‌ی برپیده می‌باشد (امینی، ۱۳۹۷).

رسوبگذاری ذرات از حالت معلق در رژیم‌های جریانی آهسته و نواحی دور از منشأ می‌باشد (میال، ۲۰۱۳). این مجموعه رخساره نشانگر کاهش ناگهانی جریان می‌باشد (یوسفی‌یگانه و همکاران، ۲۰۱۲). این عنصر با مشخصات رسوبات عمده‌ای دانه‌بریز و با ساخت رسوبی لامیناسیون



شکل ۸. ستون چینه‌شناسی بخش قاعده‌ای سازند آخوره در برش شوراب. رخسارهای سنگی با کد رخسارهای، محیط‌های رسوی و دیگر ویژگی‌های صحرایی در امتداد ستون مشخص است.

ماسه‌ها با لایه‌بندی افقی و مورب است (آینسل، ۲۰۰۰؛ ۲۰۱۳). این عنصر ساختاری با دور شدن از منشاری نهشته‌های ریزدانه می‌شود (آینسل، ۲۰۰۰). عنصر ساختاری FM در نقاطی تشکیل شده که دارای بار بستر زیاد می‌باشند (آینسل، ۲۰۰۰). رخساره Fsm در این عناصر ساختاری مربوط به رژیم جریانی پایین و در نواحی دور از منشأ می‌باشد (آینسل، ۲۰۰۰؛ میال، ۲۰۱۳).

#### محیط رسوبی

در توالی‌های رسوبی ایران سازنده‌های متعددی به رسوبگذاری در محیط رودخانه‌ای نسبت داده شده است که از آن جمله می‌توان سازنده‌های سرخ بالایی (امینی، ۱۳۹۷)، آغازاری (اعتمادسعید و همکاران، ۱۳۹۷)، کشکان (زارعی‌سهامیه و یوسفی‌یگانه، ۱۳۸۸)، شوریجه (موسی‌حرمی و برنر، ۱۹۹۰)، و بخش‌هایی از سازند شمشک (صالحی و همکاران، ۲۰۱۸) را نام برد.

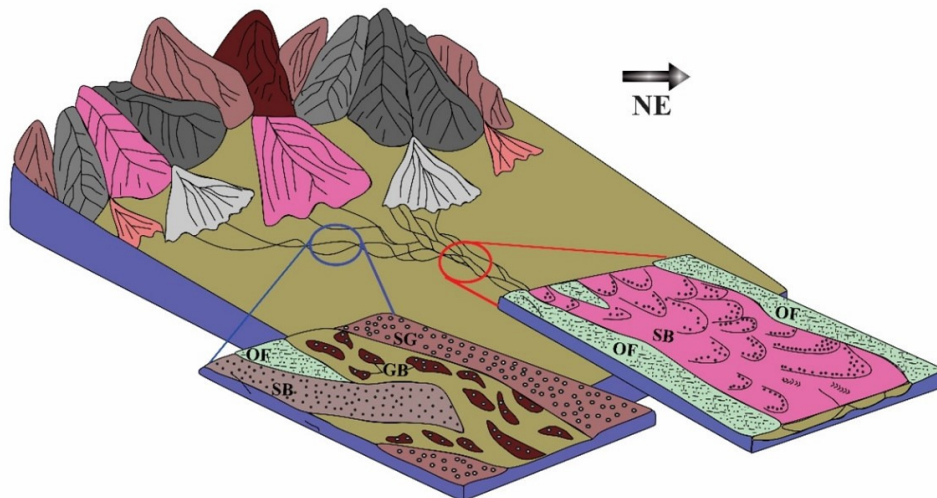
در منطقه مورد مطالعه بجز مطالعات محدودی بر روی محیط رسوبی توالی‌های کربناته با سن جوان‌تر (صیرفیان و تراوی، ۲۰۰۵)، هیچ‌گونه مطالعه‌ای بر روی نهشته‌های آواری آن صورت نگرفته است. از مطالعات اخیر بر روی بخش پایینی سازند آخره در محدوده برش نمونه که فاصله نزدیکی با برش مطالعه شده در این پژوهش قرار دارد به مطالعه خالصی نایینی و همکاران (۱۳۹۹) می‌توان اشاره کرد که نتایج مشابهی از لحاظ محیط‌رسوبی و رخساره‌های بدست آمده دارد. به طوریکه مطالعه رخساره‌های آواری در این برش شروع رسوبگذاری توالی آواری سازند آخره را به سیستم مخروط‌افکنه و رودخانه‌های بریده بریده وارد شده به آن است تفسیر می‌نماید. در این پژوهش نیز براساس مطالعات صحرایی و بررسی ارتباط رخسارها و عناصر ساختاری محیط‌رسوبی بخش قاعده‌ای سازند آخره رودخانه‌ی از نوع بریده بریده می‌باشد (شکل ۹). هرگونه تغییرات در شرایط آب و هوایی در سطح زمین به گونه‌ای در محیط رودخانه‌های آن منطقه ثبت می‌گردد (امینی، ۱۳۹۷). رودخانه‌های بریده بریده اغلب در شرایط آب و هوایی با تغییرات شدید رژیم جوی (مناطق جوان) گسترش می‌یابند (امینی، ۱۳۹۷؛ ریدینگ، ۱۹۹۶). محیط‌های رودخانه‌ی برش نیز بریده بریده بسته به نوع رسوبات ممکن است از نوع با بار بستری گراول و یا بیشتر با بار بستری ماسه‌سنگ باشد (امینی، ۱۳۹۷).

عنصر ساختاری (Sandy-bedform) SB: رخساره‌های سنگی تشکیل‌دهنده این عنصر ساختاری عمدها در اندازه ماسه بوده و تحت عنوان اشکال لایه ماسه‌ای نامیده می‌شوند (شکل ۸). شکل هندسی این رسوبات به فرم ورقای گستره می‌باشد که معمولاً در رژیم‌های جریانی بالا و پایین تشکیل شده‌اند (هارم و فهنسن‌توک، ۱۹۶۵). در زمانی که نرخ رسوبگذاری متوسط بوده است در سیستم‌های رودخانه‌ای بریده بریده ماسه‌ای برجای گذاشته شده‌اند، اما معمولاً در رژیم‌های جریانی پایین و بالا ممکن است رسوبات پرکننده کانال را تشکیل دهند (یوسفی‌یگانه و همکاران، ۱۲؛ میال، ۲۰۱۳؛ پورسلطانی، ۲۰۲۰). این عنصر دارای مجموعه رخساره ۳ می‌باشد (شکل ۸). این مجموعه رخساره دارای ماسه‌سنگ با پتروفاسیس لیتیک آرکوز و فلدسپاتیک لیت‌آرنایت بود و اندازه دانه‌ها از ماسه ریز تا ماسه درشت در تغییر است. در بین ماسه‌سنگ‌ها میان لایه‌هایی از سیلتستون، گل‌سنگی و شیل نیز قابل مشاهده است. اغلب در محیط‌های رودخانه‌ی بریده بریده بخش‌هایی با فراوانی بالای ماسه‌سنگ‌ها نشان‌دهنده‌ی وجود کانال‌ها و حاشیه‌ی آن‌ها، همچنین برتری کانال‌های فصلی می‌باشد (امینی، ۱۳۹۷). حضور چنین مجموعه رخساره‌ای نشان‌دهنده محیط آب و هوایی گرم و خشک با تغییرات شدید رژیم جویان است (امینی، ۱۳۹۷). حضور ترکهای گلی در رخساره‌های دانه‌ریز سازند آخره حاکی از آب و هوایی گرم و خشک در زمان رسوبگذاری این سازند می‌باشد. لازم به ذکر است این تفسیر از آب و هوای دیرینه با مطالعات حاصل از بررسی‌های جغرافیای دیرینه و قرارگیری ایران مرکزی در کمربند آب و هوایی گرم و خشک در طی ائوسن میانی هم خوانی دارد.

عنصر ساختاری (Foreset macroforms) FM: این عنصر ساختاری را اغلب رخساره‌های دانه‌ریز و متوسط دانه تشکیل می‌دهد و دارای انواع کدهای رخساره‌ای دانه متوسط (Sh) و دانه‌ریز (Fm، Fsm) می‌باشد. این مجموعه رخساره پس از مجموعه رخساره دانه درشت GB نهشته شده است. این عنصر ساختاری در کنار عناصری مانند OF، SB نهشته شده است و با یکدیگر پیوستگی جانبی دارند (شکل ۸). این عنصر ساختاری اغلب با عنصر ساختاری SB تشکیل می‌شود (ریدینگ، ۱۹۹۶؛ آینسل، ۲۰۰۰؛ میال، ۲۰۱۳). از ویژگی‌های شاخص آن وجود

پشته‌های متتشکل از گراول و ماسه است (کونر- استیج و همکاران، ۲۰۱۸). در این رودخانه‌ها به علت شرایط ژئومورفولوژیکی و هیدرولوژیکی قطعات در اندازه کابل و حتی بیشتر نیز حمل می‌شود و منجر به رسوبگذاری قطعات با اندازه متفاوت می‌گردد (آشمور، ۲۰۱۳).

البته در توالی مورد مطالعه ابتدا بار بستره گراول و سپس بار بستره عمدهً ماسه‌سنگی نهشته شده است. تغییرات مورفولوژیکی رودخانه تغییرات آب و هوایی شرایط تشکیل رسوب را منعکس می‌کند (بلتی و همکاران، ۲۰۱۵). رودخانه‌ی بریده شامل تعداد زیادی کanal‌ها و



شکل ۹. مدل نمادین از محیط رسوبی رودخانه‌ای بریده عمده‌ی برش شوراب، شمال تایین.

طی دوره آب و هوای گرم است. رنگ قرمز و حضور کالکرت در نهشته‌های رودخانه‌ای و مخروطافکنه بیانگر آب و هوای گرم و خشک می‌باشد (ویلسن و همکاران، ۲۰۲۱). پس از رخساره‌های گراولی زیر محیط OF مشاهده شده است که ریزدانه‌ها غالب هستند و یک حالت کاهش اندازه دانه در توالی را نشان می‌دهد که احتمالاً رسوبات دشت‌سیلانی بر روی رسوبات بستر گراولی قرار گرفته و نشان‌دهنده کاهش انرژی محیط و سکون نسبی می‌باشد. در ادامه زیر محیط SB تشکیل شده است که در بین این زیر محیط شاهد تشکیل SG است که نشان از افزایش انرژی و مهاجرت بستر گراولی می‌باشد. پس از تنشست دانه درشت‌ها، رخساره‌ی SB تشکیل شده است و پس از آن رخساره‌ی FM است. سپس زیر محیط OF با اکنثیت شیل سبز می‌باشد که نشان از کاهش انرژی، سکون نسبی و همچنین شرایط شیمیابی مورد نیاز جهت تشکیل شیل سبز می‌باشد. به طور کلی فراوانی زیر محیط‌های SB و GB فراوانی بیشتری نسبت به زیر محیط FM، OF دارند. این نسبت فراوانی از مشخصه‌های اصلی در محیط‌های رودخانه‌ای بریده برش است (موسی‌حرمی و برنر، ۱۹۹۰؛ امینی، ۱۳۹۷). گسترش توالی‌های ریز شونده بیانگر میزان

رودخانه‌های بریده برش به طور جانبی ثابت نبوده و حرکت می‌کند. این رودخانه‌ها اغلب در مناطق نزدیک منشأ با شبیه زیاد و میزان آب فراوان و قدرت تخریبی زیاد جریان دارند و اغلب دارای پیچش کم هستند (موسی‌حرمی، ۱۳۸۹؛ موسی‌حرمی و برنر، ۱۹۹۰). رودخانه بریده در مناطقی با ارتفاعات زیاد و مخروطافکنه‌ها تشکیل شده و بر اساس ویژگی‌های محیطی ابعاد و طول متفاوت داشته و از ذرات ریز در حد سیلت و رس تا ذرات بزرگ‌تر از کابل را در برمی‌گیرد (مولر و پیتليک، ۲۰۱۴). لازم به ذکر است بررسی‌های شرایط دیرینه در خصوص میزان بر جستگی و میزان ارتفاع منطقه با تفسیرهای بیان شده هم خوانی دارد. از جمله علل عدم جورشدنگی رسوبات برش مذکور وضعیت پر شبیه و انرژی بالای رودخانه می‌باشد. حرکت جانبی رودخانه باعث تشکیل رسوبات ماسه‌ای و گراولی شده که در کanal‌ها یا سدهای درون رودخانه رسوب می‌کند. حرکت جانبی رودخانه باعث تشکیل رسوبات ماسه‌سنگی و کنگلولومرایی همراه با مقداری شیل در داخل آن‌ها می‌گردد. در ابتدای برش زیر محیط‌های SG، GB در هم ادغام شده‌اند و در این زیر محیط شاهد خاکزایی نیز هستیم که بیانگر خروج دی‌اکسید کربن حاصل از تبخیر

می‌باشد. در توالی مورد مطالعه چهار مجموعه رخساره آواری شناسایی گردید. مجموعه رخساره FA1 مربوط زیرمحیط GB (Gravel bar/bedform) و SG (Sediment Over) است. OF (Gravity bank) بوده و مجموعه رخساره FA3 معادل عنصر ساختاری SB (Sandy bedform) است. زیر محیط‌های ذکر شده مربوط به رودخانه بریده می‌باشد. رودخانه بریده در یک منطقه فعال تکتونیکی و شرایط آب و هوای گرم و خشک نهشته شده است که این مشخصات با جغرافیای دیرینه ایران مرکزی در طی ائوسن میانی هم خوانی دارد.

### تشکر و قدردانی

نویسنده‌گان از داوران محترم نشریه رسوب‌شناسی کاربردی که در جهت ارتقای کیفیت این مقاله، پیشنهادات ارزندهای ارایه نمودند، کمال تشکر و قدردانی را دارند.

### منابع

- آقاباتی، ع (۱۳۸۵) زمین‌شناسی ایران، سازمان زمین‌شناسی و اکتشافات معدنی کشور، ۵۸۶ ص.
- اعتمادسعید، ن، نجفی، م، زین‌العابدین قویم، ن، قدس، ع، ا. (۱۳۹۷) آنالیز رخساره‌ای و بازسازی محیط نهشته دیرینه رسوبات پیش‌بومی نئوژن در شمال فربوار دزفول، زاگرس. مجله علوم زمین، شماره ۱۰۸، ص ۱۲-۳.
- امینی، ع. (۱۳۹۷) محیط‌های رسوبی. انتشارات دانشگاه تهران (چاپ دوم)، ۴۷۶ ص.
- حاجیان، ج (۱۳۷۵) زمین‌شناسی ایران: پالئوسن- ائوسن در ایران، سازمان زمین‌شناسی کشور، شماره ۲۸، ۴۶ ص.
- خالصی نائینی، م، صالحی، م، ع، تدبی، م، جعفرزاده، م (۱۳۹۹) بررسی رخساره‌های رسوبی نهشته‌های آواری ائوسن در شمال نایین: کاربرد در بازسازی شرایط محیط‌رسوبی دیرینه ایران مرکزی، سیزدهمین همایش انجمن دیرینه‌شناسی ایران، اصفهان، ص ۸۲-۷۵.
- خسروتهرانی، خ (۱۳۸۴) زمین‌شناسی ایران: مزوژیک- سنوزویک، جلد دوم، انتشارات کلیدر، ۵۰۰ ص.
- درویش‌زاده، ع (۱۳۷۰) زمین‌شناسی ایران، انتشارات امیرکبیر، ۴۳۴ ص.
- زارعی سهامیه، ر، یوسفی‌یگانه، ب (۱۳۸۷) رخساره‌های رسوبی و جهت جریان دیرینه در سازند کشکان غرب خرم‌آباد، مجله علوم‌پایه دانشگاه بوعلی‌سینا، شماره ۵، ص ۲۵-۳۵.

میرایی و کاهش فعالیت تکتونیکی و یک نواختی در تغییر شکل ساختاری در منطقه خاستگاه رسوبات است (امینی، ۱۳۹۷). بر اساس شواهدی نظیر حضور رخساره‌های کنگلومرایی با جورشگی ضعیف، فراوانی ساخته‌های رسوبی یک جهته، فرم هندسی کانالی شکل و پشتله‌های درون کانال که حاکی از جابجایی رسوبات به صورت بار بستره به صورت گراوای و ماسه‌ای هستند همگی شواهدی تایید کننده محیط‌رسوبی رودخانه‌ای از نوع بریده در بخش ابتدایی سازند آخره می‌باشد. به طور کلی در بخش پایینی توالی مورد مطالعه که نهشته‌های دانه درشت غالب هستند بیانگر برتری نهشته‌های مخروط‌افکنه در بخش‌های بالادستی از محل منشأ می‌باشد، در حالی که در قسمت‌های فوقانی از توالی مورد مطالعه که رخساره‌های دانه متوسط و ریز در آن غالب است برتری با نهشته‌های دشت‌سیلابی در بخش‌های دورتر از منشأ می‌باشند. با توجه به بازسازی صورت گرفته جغرافیای دیرینه در زمان ائوسن میانی که زمان احتمالی نهشته شده سازند آخره در ایران مرکزی می‌باشد، رسوبات بخش پایینی سازند آخره احتمالاً در حاشیه یک حوضه پشت کمان قاره‌ای در حال کشش که فرونژینی قابل ملاحظه‌ای را می‌گذراند تشکیل شده است (بریر و همکاران، ۲۰۱۸).

### نتیجه‌گیری

سازند آخره به سن ائوسن میانی از نهشته‌های آواری قرمز رنگ تشکیل شده است که مجموعه افیولیتی نایین را پوشانده است. توالی مورد مطالعه از بخش پایینی سازند آخره دارای ۵۰۵ متر ضخامت است که بر اساس ضخامت، نوع لیتولوژی، ساخته‌های رسوبی به ۱۰ واحد سنگ‌چینه- ای تفکیک گردیده است. ابتدای توالی مورد مطالعه لیتولوژی غالب کنگلومرای گل‌پشتیبان بوده و با یک گسل از مجموعه افیولیتی نایین جدا شده است. این واحد دارای قطعات بازی و فوق بازی است که از افیولیت نایین مشتق شده است. توالی به سمت بالا ریز شونده می‌باشد و در ادامه کنگلومرا به لایه‌های ماسه‌سنگ، سیلیستون و شیل تبدیل می‌گردد. رخساره‌های آواری شناسایی شده در برش مورد مطالعه به سه دسته درشت، متوسط و ریزدانه قابل تقسیم هستند. رخساره درشت دانه شامل Gci، Gp، Gh، Gcm، Gci، Gp، Gh، Gcm، Gmg و Gmm می‌باشد. رخساره دانه متوسط شامل Sh و Fm، Fsm و Sm بوده و رخساره دانه ریز شامل Fl و Sm

- Higgs, K. E., King, P. R., Raine, J. I., Sykes, R., Browne, G. H., Crouch, E., Baur, J. R (2012) Sequence stratigraphy and controls on reservoir sandstone distribution in an Eocene marginal marine-coastal plain Fairway, Taranaki Basin, New Zealand. *Marine and Petroleum Geology*, 30: 175-192.
- Ito, M., Matsukawa, M., Saito, T., Nichols, D. J (2006) Facies architecture and paleohydrology of a synrift succession in the Early Cretaceous Choyr Basin, Southern Mongolia. *Cretaceous Research*, 27: 226-240
- Kim, J. C., Lee, Y. I., Hisada, K. I (2007) Depositional and compositional controls on sandstone diagenesis, the Tetori Group (Middle Jurassic-Early Cretaceous), central Japan. *Sedimentary Geology*, 195: 183-202.
- Kostic, B., Bech, A., Aigner, T (2005) 3-D sedimentary architecture of a Quaternary gravel delta (SW-Germany): Implication for hydrostratigraphy. *Sedimentary Geology*, 181: 143-171.
- Kwon, Y. K., Chough, S. K., Choi, D. K., Lee, D. J (2002) Origin of limestone conglomerates in the Choson Supergroup (Cambro-Ordovician), mid-east korea. *Sedimentary Geology*, 146: 265-283.
- Kumar, P., Shekhar, S., Shukla, A., Chakraborty, P. P (2021) Facies architecture and spatio-temporal depositional variability in the Pliocene Sandhan fluvial system, Kutch Basin, India. *Journal of Earth System Science*, 130(4): 237.
- Lee, H. S., Chough, S. K (2006) Lithostratigraphy and depositional environments of the Pyeongan Supergroup (Carboniferous-Permian) in the Taebaek area mid-east Korea. *Journal of Asian Earth Sciences*, 26: 339-352.
- Lopez- Gomez, J., Arche, A., Vargas, H., Marzo, M (2010) Fluvial architecture as a response to two-layer lithospheric subsidence during the Permian and Triassic in the Iberian Basin, eastern Spain. *Sedimentary Geology*, 223: 320-333.
- Miall, A. D (2013) The Geology of Fluvial Deposits, Sedimentary Facies, Basin Analysis, and Petroleum Geology. 4th ed. Springer, Berlin.
- Moussavi-Harami, R., Brenner, R. L (1990) Lower Cretaceous (Neocomian) fluvial deposits in eastern Kopet-Dagh Basin, northeastern Iran. *Cretaceous Research*, 11:163-174.
- Moussavi-Harami, R., Mahboubi, A., Nadjafi, M., Brenner, R. L., Mortazavi, M (2009) Mechanism of calcrete formation in the Lower Cretaceous (Neocomian) fluvial deposits, northeastern Iran based on petrographic, geochemical data. *Cretaceous Research*, 30(5): 1146-1156.
- Mueller, E. R., Pitlick, J (2014) Sediment supply and channel morphology in mountain river
- موسی‌حرمی، س. ر (۱۳۸۹) رسوب‌شناسی، انتشارات آستان قدس‌رضوی (چاپ دوازدهم)، ۴۷۴ ص.
- Alonso-Zarza, A. M (2003) Palaeoenvironmental significance of palustrine carbonates, calcrites in the geological record. *Earth Science*, 60: 261-298.
- Ashmore, P (2013) Morphology and dynamics of braided rivers. In: Shroder, J., Wohl, E. (Eds.), *Treatise on Geomorphology*. San Diego: Academic Press, 289-312.
- Barrier, E., Vrielynck, B., Brouillet, J. F., Brunet, M. F (2018) Paleotectonic reconstruction of the central Tethyan realms. paris, commission for Geological Map of the World: CGMW/CCGM.
- Belletti, B., Dufour, S., Piégay, H (2015) What is the relative effect of space and time to explain the braided river width and island patterns at a regional scale?. *River Research and Applications*, 31: 1-15.
- Blatt, H., Middleton, G. V., Murray, R (1980) *Origine of Sedimentary Rocks* (2nd edition). Prentice Hall Inc, Englewood Cliffs, Newjersey.
- Catuneanu, O (2003) Sequence Stratigraphy of Clastic Systems. Geological Association of Canada. Short Course Notes, 16: 1-248.
- Connor-Streich, G., Alexander, J.H., James B., Walter, B., Harvey, G. L (2018) Let's get connected: A new graph theory-based approach and toolbox for understanding braided river morphodynamics. *WIREs Water*, 5(5): 1-26.
- Davoudzadeh, M (1972) Geology and petrography of the area north of Nain, central-Iran. *Geological Survey of Iran*, 14, 89 p.
- De La Horra, R., Benito, M. I., Lopez-Gomez, J., Arche, A., Barrenechea, J. F., Luque, J (2008) Palaeoenvironmental significance of Late Permian palaeosols in the South-Eastern Iberian Ranges, Spain. *Sedimentology*, 55: 1849-1873.
- Einsele, G (2000) *Sedimentary Basin Evolution, Facies and Sediment Budget* (2nd edition). Springer.
- Folk, R. L (1980) *Petrology of Sedimentary Rocks*. Hemphill Publishing Company., Austin, Texas.
- Ghazi, Sh., Mountney, N. P (2009) Facies and architectural element analysis of a meandering fluvial succession, The Permian Warchha Sandstone, salt Range: Pakistan. *Sedimentary Geology*, 221: 99-126.
- Ghosh, S (2014) Palaeogeographic significance of ferruginous gravel lithofacies in the Ajay-damodar interfluve, West Bengal, India. *International Journal of Geology*, 4: 81-100.
- Harms, J. G., Fahnestock, R. K (1965) Classification, bed forms and flow phenomena (with an example from the Rio Grande). In: Middleton, G. V. (Ed.), *Primary Sedimentary Structures and Their Hydrodynamic Interpretation*. Society of Economic Paleontologists and Mineralogists Special Publication, 84-115.

- systems: 2. Single thread to braided transitions. *Journal of Geophysical Research, Earth Surface*, 119: 1516-1541.
- Petit, F., Gol, F., Houbrechts, G., Assani, A. A (2005) Critical specific stream power in gravel-bed rivers. *Geomorphology*, 69: 92-101.
- Poursoltani, M. R (2020) Architectural analysis of an Early Cambrian braided-river system on the north Gondwana margin: The lower sandstone of the Lalun Formation in the Shirgesht area, central Iran. *Journal of African Earth Sciences*, 171: 103935.
- Reading, H. G., Collinson, J. D (1996) Clastic coastal. In: Reading, H.G., (Ed.), *Sedimentary Environment and Facies*. Black well Scientific Publication, Ltd Oxford, 154-231.
- Retallack, G. J (1998) Core concepts of paleopedology. *Quaternary International*, 51-52, 203-212.
- Salehi, M. A., Moussavi-Harami, R., Mahboubi, A., Fürsich, F.T., Wilmsen, M., Heuback, C (2018) A tectono-stratigraphic record of an extensional basin: the Lower Jurassic Ab-Haji Formation of east-central Iran. *Swiss Journal of Geosciences*, 111: 51-78.
- Selley, R. C (1996) *Ancient Sedimentary Environment and Their Sub-surface Diagenesis* (4th edition). Routledge, London.
- Seyrafian, A., Toraby, H (2005) Petrofacies and sequence stratigraphy of the Qom Formation (Late Oligocene-Early Miocene?), north of Nain, southern trend of central Iranian Basin. *Carbonates and Evaporites*, 20(1): 82-90.
- Tucker, M. E (2001) *Sedimentary Petrology* (3ed edition): Blackwell science
- Yousefi Yeganeh, B., Feiznia, S., Tom, A. J., Loon, V (2012) Sedimentary environment and palaeogeography of the Palaeocene–Middle Eocene Kashkan Formation, Zagros fold-thrust belt, SW Iran. *Geologos*, 18: 13-36.
- Wilmsen, M., Fürsich, F. T., Seyed-Emami, K., Majidifard, M. R. (2021) The Upper Jurassic Garedū Red Bed Formation of the northern Tabas Block: elucidating Late Cimmerian tectonics in east-Central Iran. *International Journal of Earth Sciences*, 110(3): 767-790.